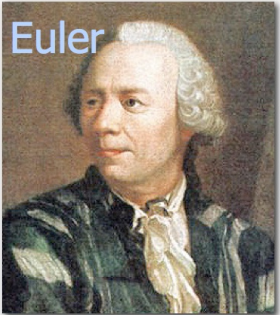
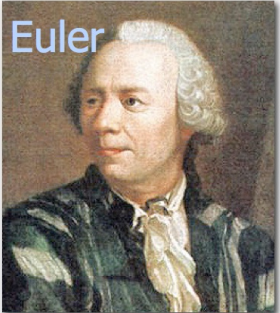
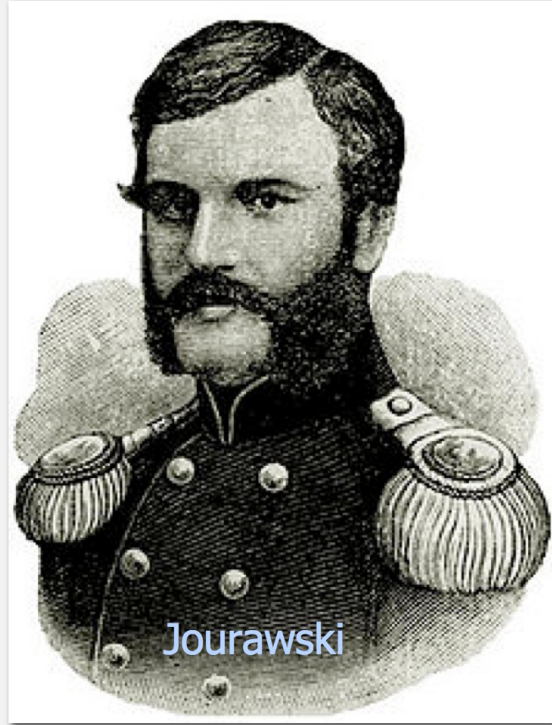


- problema elastico-lineare
trave di Euler-Bernoulli
tensioni assiali
- analisi a collasso (flessionale)
analisi limite
- problema elastico-non lineare
carico critico Euleriano



Bernoulli

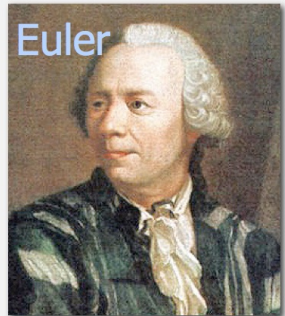
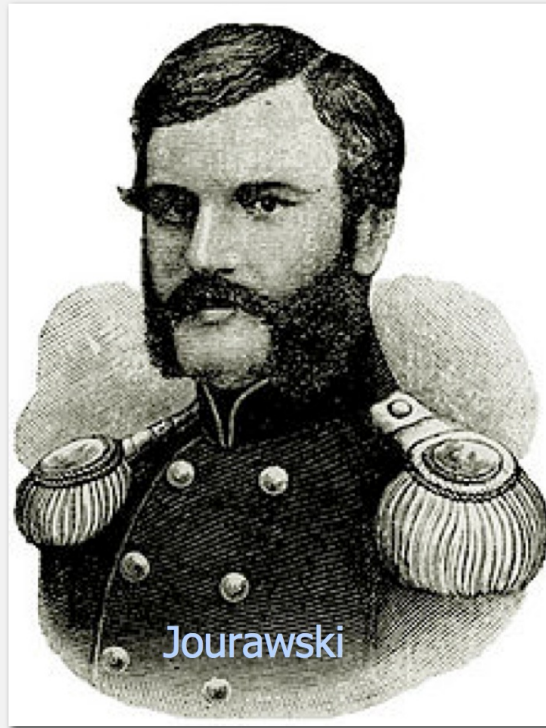
- problema elastico-lineare
trave di Euler-Bernoulli
- tensioni assiali
- tensioni tangenziali
- analisi a collasso (flessionale)
- analisi limite
- problema elastico-non lineare
- carico critico Euleriano



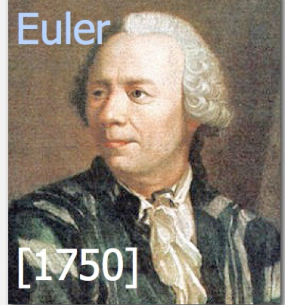
- problema elastico-lineare
trave di Euler-Bernoulli
- tensioni assiali
- tensioni tangenziali

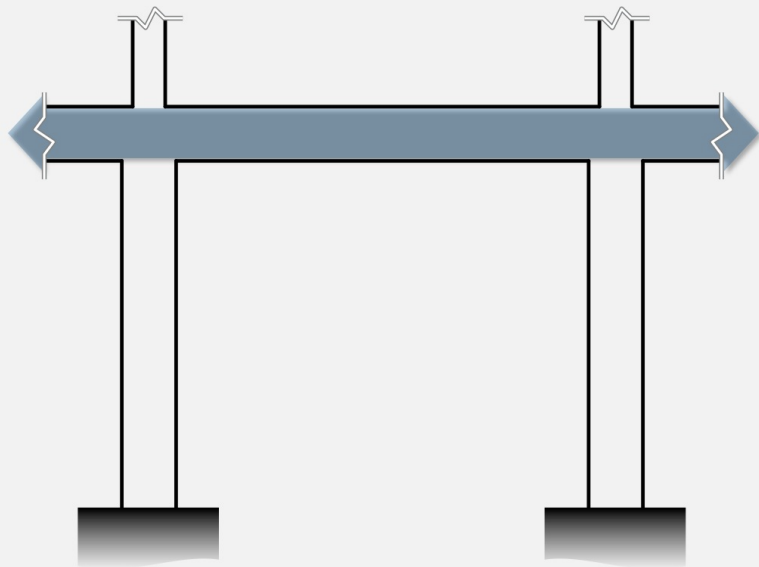
- analisi a collasso (flessionale)
analisi limite
- problema elastico-non lineare
carico critico Euleriano

non linearità

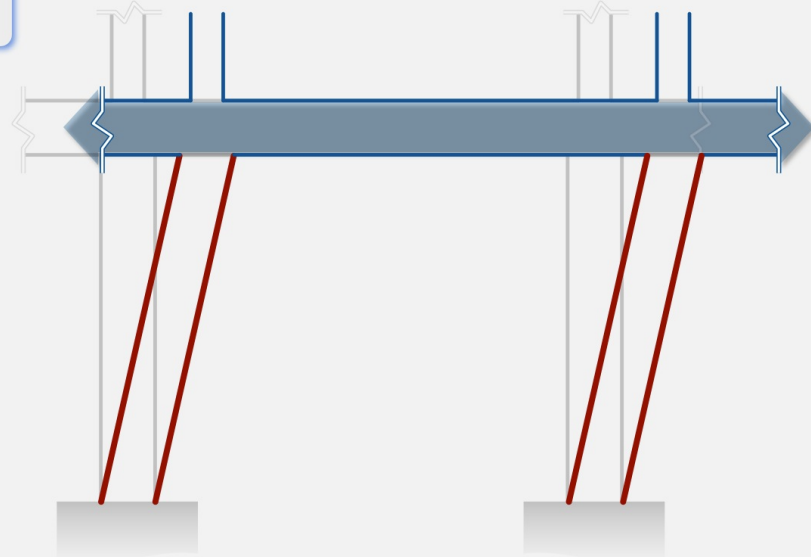


[1950]
Timoshenko





il sisma "induce"
un'energia di taglio
(scorrimento)





Aquila 2009



Perù 2007



Perù 2007



Perù 2007



San Fernando (CA, USA) 1971



San Fernando (CA, USA) 1971

trave di Timoshenko

modello “esatto” del
problema elastico-lineare

problema elastico-lineare della trave

equilibrio

$$\begin{cases} N'[s] + p[s] = 0 \\ T'[s] + q[s] = 0 \\ M'[s] + \mu[s] + T[s] = 0 \end{cases}$$

compatibilità

$$\begin{cases} \varepsilon[s] = u'[s] \\ \gamma[s] = v'[s] - \vartheta[s] \\ \chi[s] = \vartheta'[s] \end{cases}$$

~~0~~

legami costitutivi

$$\begin{cases} N[s] = EA\varepsilon[s] \\ M[s] = EJ\chi[s] \\ T[s] = \boxed{}\gamma[s] \end{cases}$$

problema elastico-lineare della trave

equilibrio

$$\begin{cases} N'[s] + p[s] = 0 \\ T'[s] + q[s] = 0 \\ M'[s] + \mu[s] + T[s] = 0 \end{cases}$$

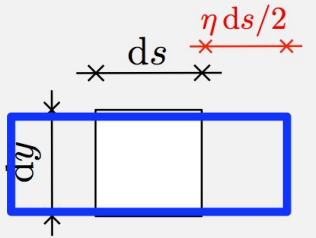
compatibilità

$$\begin{cases} \varepsilon[s] = u'[s] \\ \gamma[s] = v'[s] - \vartheta[s] \\ \chi[s] = \vartheta'[s] \end{cases}$$

legami costitutivi

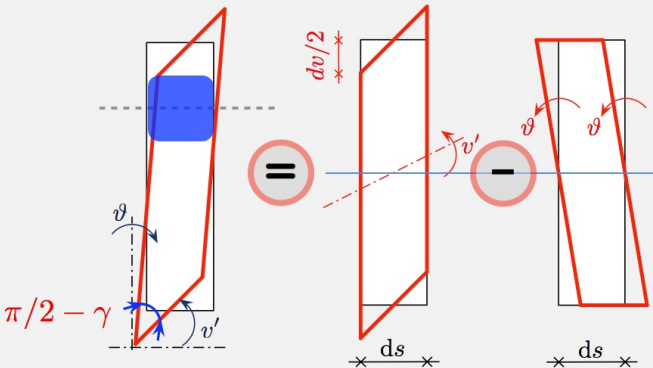
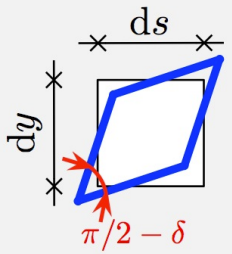
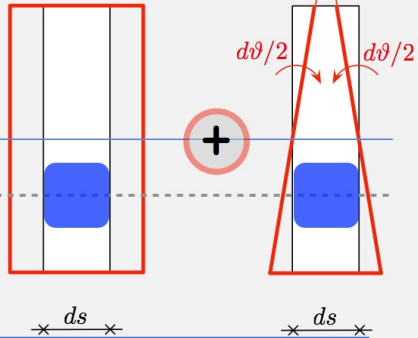
$$\begin{cases} N[s] = EA\varepsilon[s] \\ M[s] = EJ\chi[s] \\ T[s] = \boxed{}\gamma[s] \end{cases}$$

dimensioni $[F] = \frac{[F]}{[L]^2} [L]^2 [1]$

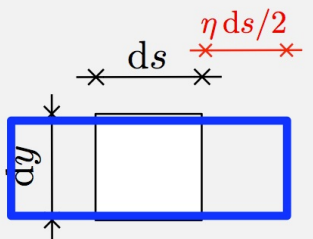


$$du/2 = \varepsilon ds/2$$

χds



$$\int_A \sigma \eta \, dA = N\dot{\varepsilon} + M\dot{\chi}$$

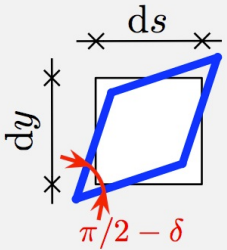


congruenza:

$$\eta(y) = \varepsilon \pm \chi y$$

test sperimentale:

$$\sigma = E \eta$$



test sperimentale:

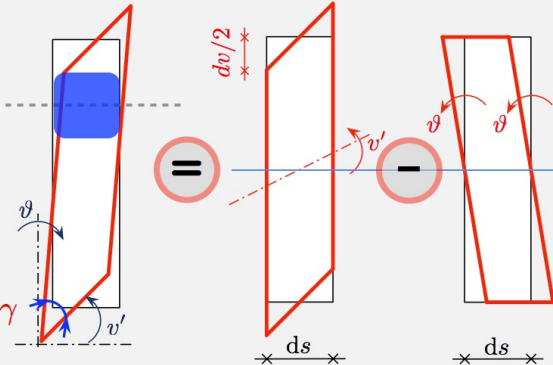
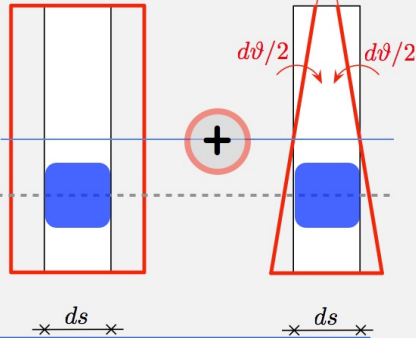
$$\tau = G \delta$$

$$\pi/2 - \gamma$$

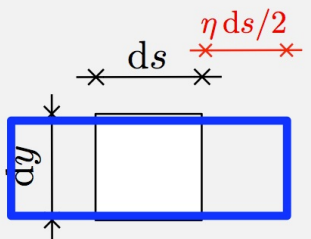


$$du/2 = \varepsilon ds/2$$

$$\chi ds$$



$$\int_A \sigma \dot{\eta} dA = N\dot{\varepsilon} + M\dot{\chi}$$



congruenza:

$$\eta(y) = \varepsilon \pm \chi y$$

test sperimentale:

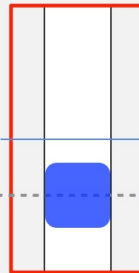
$$\sigma = E \eta$$

$$du/2 = \varepsilon ds/2$$

$$\chi ds$$

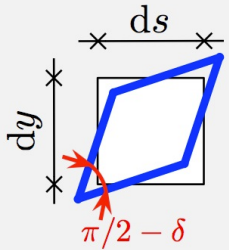
$$d\vartheta/2$$

$$d\vartheta/2$$



$$ds$$

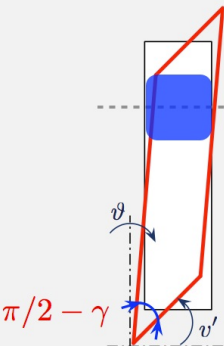
$$ds$$



~~$$\delta(y) > \gamma$$~~

test sperimentale:

$$\tau = G \delta$$



$$\pi/2 - \gamma$$

$$\vartheta$$

$$\vartheta$$

$$\vartheta$$

$$dv/2$$

$$=$$

$$ds$$

$$ds$$

$$ds$$

$$ds$$

$$ds$$

$$ds$$

equivalenza energetica

$$\int_A \sigma \varepsilon dA = \int_A E \varepsilon^2 dA = EA \varepsilon^2$$
$$\int_A \frac{\sigma^2}{E} dA = \frac{N^2}{EA}$$

ε e σ
costanti su A
(lungo y)

$$N = EA \varepsilon$$

equivalenza energetica

$$\int_A \sigma \varepsilon dA = \begin{matrix} \nearrow \int_A E \varepsilon^2 dA = EA \varepsilon^2 \\ \searrow \int_A \frac{\sigma^2}{E} dA = \frac{N^2}{EA} \end{matrix}$$

ε e σ
costanti su A
(lungo y)

$$N = EA \varepsilon$$

$$\int_A \tau \delta dA = \begin{matrix} \nearrow \int_A G \delta^2 dA =: GA^* \gamma^2 \\ \searrow \int_A \frac{\tau^2}{G} dA =: \frac{T^2}{GA^*} \end{matrix}$$
$$T = GA^* \gamma$$

area "ridotta" a taglio A^*

sezioni rettangolari $A^* = 5/6 A$

$$\int_A \tau \delta \, dA = \begin{cases} \uparrow & \int_A G\delta^2 \, dA =: GA^* \gamma^2 \\ \downarrow & \int_A \frac{\tau^2}{G} \, dA =: \frac{T^2}{GA^*} \end{cases}$$

$$T = GA^* \gamma$$

$$\tau \text{ nota per equilibrio (Jourawski)} \\ A^* = \frac{T^2}{\int_A \tau^2 dA}$$

area "ridotta" a taglio A^*

sezioni rettangolari $A^* = 5/6 A$

$$\int_A \tau \delta dA = \begin{cases} \int_A G\delta^2 dA =: GA^* \gamma^2 \\ \int_A \frac{\tau^2}{G} dA =: \frac{T^2}{GA^*} \end{cases}$$

$$T = GA^* \gamma$$

disuguaglianza di Cauchy-Schwarz

$$(\text{media}(\tau))^2 \leq \text{media}(\tau^2)$$

τ nota per equilibrio
(Jourawski)

$$A^* = \frac{T^2}{\int_A \tau^2 dA}$$

area "ridotta" a taglio A^*

sezioni rettangolari $A^* = 5/6 A$

$$\int_A \tau \delta dA = \begin{cases} \int_A G \delta^2 dA =: GA^* \gamma^2 \\ \int_A \frac{\tau^2}{G} dA =: \frac{T^2}{GA^*} \end{cases}$$

$$T = GA^* \gamma$$

disegualanza di Cauchy-Schwarz

$$(\text{media}(\tau))^2 \leq \text{media}(\tau^2)$$

$$\text{media}(\tau) = \frac{1}{A} \int_A \tau \, dA \equiv \frac{T}{A}$$

$$\text{media}(\tau^2) = \frac{1}{A} \int_A \tau^2 \, dA \equiv \frac{1}{A} \frac{T^2}{A^*}$$

$$\tau \text{ nota per equilibrio (Jourawski)} \\ A^* = \frac{T^2}{\int_A \tau^2 \, dA}$$

area "ridotta" a taglio A^*

sezioni rettangolari $A^* = 5/6 A$

$$\int_A \tau \delta \, dA = \begin{cases} \int_A G \delta^2 \, dA =: GA^* \gamma^2 \\ \int_A \frac{\tau^2}{G} \, dA =: \frac{T^2}{GA^*} \end{cases}$$

$$T = GA^* \gamma$$

disegualanza di Cauchy-Schwarz

$$(\text{media}(\tau))^2 \leq \text{media}(\tau^2) \quad \rightarrow \quad A^* \leq A$$

$$\text{media}(\tau) = \frac{1}{A} \int_A \tau \, dA \equiv \frac{T}{A}$$

$$\text{media}(\tau^2) = \frac{1}{A} \int_A \tau^2 \, dA \equiv \frac{1}{A} \frac{T^2}{A^*}$$

τ nota per equilibrio
(Jourawski)

$$A^* = \frac{T^2}{\int_A \tau^2 \, dA}$$

area "ridotta" a taglio A^*

sezioni rettangolari $A^* = 5/6 A$

$$\int_A \tau \delta \, dA = \begin{aligned} & \int_A G \delta^2 \, dA =: GA^* \gamma^2 \\ & \int_A \frac{\tau^2}{G} \, dA =: \frac{T^2}{GA^*} \end{aligned}$$

$$T = GA^* \gamma$$

confronto tra modelli di trave

Euler-Bernoulli
vs
Timoshenko

equilibrio

$$\begin{cases} N'[s] + p[s] = 0 \\ T'[s] + q[s] = 0 \\ M'[s] + \mu[s] + T[s] = 0 \end{cases}$$

compatibilità

$$\begin{cases} \varepsilon[s] = u'[s] \\ \gamma[s] = v'[s] - \vartheta[s] \\ \chi[s] = \vartheta'[s] \end{cases}$$

legami costitutivi

$$\begin{cases} N[s] = EA \varepsilon[s] \\ T[s] = GA^\star \gamma[s] \\ M[s] = EJ \chi[s] \end{cases}$$

equilibrio

$$\begin{cases} N'[s] + p[s] = 0 \\ T'[s] + q[s] = 0 \\ M'[s] + \mu[s] + T[s] = 0 \end{cases}$$

compatibilità

$$\begin{cases} \varepsilon[s] = u'[s] \\ \gamma[s] = v'[s] - \vartheta[s] \\ \chi[s] = \vartheta'[s] \end{cases}$$

legami costitutivi

$$\begin{cases} N[s] = EA \varepsilon[s] \\ T[s] = GA^* \gamma[s] \\ M[s] = EJ \chi[s] \end{cases}$$

$GA^* \rightarrow \infty$

il modello di Timoshenko "contiene"
quello di Euler-Bernoulli

E.-B. introduce un **errore** in T. perché **trascura energia**

$$\frac{T^2}{GA^*} \ll \frac{M^2}{EJ}$$

E.-B. introduce un **errore** in T. perché **trascura energia**

$$\frac{T^2}{GA^*} \ll \frac{M^2}{EJ}$$

per ordini
di grandezza

$$\begin{aligned} M &\approx T\ell \\ G &\approx E \\ A^* &\approx A \end{aligned}$$

E.-B. introduce un **errore** in T. perché **trascura energia**

$$\frac{T^2}{GA^*} \ll \frac{M^2}{EJ}$$

per ordini
di grandezza

$$\begin{aligned} M &\approx T\ell \\ G &\approx E \\ A^* &\approx A \end{aligned}$$

$$\frac{T^2}{EA} \ll \frac{T^2\ell^2}{EJ}$$

E.-B. introduce un **errore** in T. perché **trascura energia**

$$\frac{T^2}{GA^*} \ll \frac{M^2}{EJ}$$

per ordini
di grandezza

$$\begin{aligned} M &\approx T\ell \\ G &\approx E \\ A^* &\approx A \end{aligned}$$

$$\frac{T^2}{EA} \ll \frac{T^2\ell^2}{EJ}$$

→ $\frac{\ell^2}{J/A} \gg 1$

errore basso per **travi snelle**

E.-B. introduce un **errore** in T. perché trascura energia

$$\frac{T^2}{GA^*} \ll \frac{M^2}{EJ}$$

per ordini
di grandezza

$$\begin{aligned} M &\approx T\ell \\ G &\approx E \\ A^* &\approx A \end{aligned}$$

$$\frac{T^2}{EA} \ll \frac{T^2\ell^2}{EJ}$$

→ $\frac{\ell^2}{J/A} \gg 1$

errore basso per travi snelle

come per confronto travi
iso/iper-statica

→
$$\int_{\ell} \frac{N_{eb}^2}{EA} + \frac{M_{eb}^2}{EJ} \geq \int_{\ell} \frac{N_t^2}{EA} + \frac{T_t^2}{GA^*} + \frac{M_t^2}{EJ}$$

a parità di equilibrio, errore a vantaggio di sicurezza
(tensioni sovrastimate in media)